

地中構造物に作用する地盤反力の周波数特性

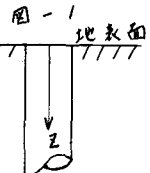
九州大学	正員	小坪清真
九州工大	同	高西照彦
佐賀大学	同	荒牧翠治
○ 九州大学	同	吉浦正文

1. 緒言

本四連絡橋などの最大スパン橋梁では橋脚の耐震設計法がされて重要な問題となるが、その基礎型式として鋼管橋脚やケーソンの設計において、周囲の地盤の地盤係数をどのようにとるかは、橋脚の耐震設計上重要な課題である。すなわち、地中構造物にからく地盤反力は、地中構造物の寸法や振動数、変位振幅の大きさによつて変化し、未だ明白な結論が出ていない。本論文は、地盤係数に及ぼす種々の因子のうち、振動数による地盤係数の変化を理論的ならびに実験的に、研究したものである。

2. 理論

実際の地盤は弾塑性的性質をもつが、ここでは一応弾性体として取り扱う。図-1に示すように、半径 r_0 の円筒が半無限弾性地盤内で水平振動を行う場合に円筒にからく地盤反力が円筒の振動数によってどのように変化するかを求めるには、円筒座標 (r, θ, z) を図-1のようになし、 r, θ 方向の地盤変位を u, v とすれば、次の波动方程式を円筒表面の境界条件によつて求めねばよい。



$$\left. \begin{aligned} \rho \frac{\partial^2 u}{\partial t^2} &= (\lambda + 2\mu) \frac{\partial \Delta}{\partial r} - \frac{2\mu}{r} \frac{\partial w_r}{\partial \theta} + 2\mu \frac{\partial w_z}{\partial z} \\ \rho \frac{\partial^2 v}{\partial t^2} &= (\lambda + 2\mu) \frac{1}{r} \frac{\partial \Delta}{\partial \theta} - 2\mu \frac{\partial w_r}{\partial r} + 2\mu \frac{\partial w_z}{\partial z} \end{aligned} \right\} \quad (1) \quad \begin{aligned} \Delta &= \frac{1}{r} \left(\frac{\partial(ru)}{\partial r} + \frac{\partial(v)}{\partial \theta} \right) \\ 2w_r &= -\frac{\partial u}{\partial z}, \quad 2w_\theta = \frac{\partial u}{\partial z}, \\ 2w_z &= \frac{1}{r} \left(\frac{\partial(ru)}{\partial r} - \frac{\partial u}{\partial \theta} \right) \end{aligned} \quad \left. \right\} \quad (2)$$

ここで ρ 、 λ 、 μ は Lamé の定数、 ρ は地盤の密度である。

円筒の変位を x 方向に $X = X_0 \exp(-n z + i \omega t)$ において、(1)式の解を求め、円筒にからく地盤係数を求めるところ次式で表わされる。

$$\left. \begin{aligned} \frac{Y_0 k_{rr}}{\mu} &= 2 \frac{\lambda + 2\mu}{\mu} l_0 \frac{H_2^{(2)}(k_0) H_2^{(2)}(l_0)}{D}, \quad D = H_2^{(2)}(k_0) H_0^{(2)}(l_0) + H_0^{(2)}(k_0) H_2^{(2)}(l_0) \\ \frac{Y_0 k_{ro}}{\mu} &= 2 k_0 \frac{H_1^{(2)}(k_0) H_2^{(2)}(l_0)}{D} \end{aligned} \right\} \quad (3)$$

L_s は地盤の
波長

$$k_0 = \sqrt{4\pi^2 \left(\frac{l_0}{L_s}\right)^2 + n^2 r_0^2}, \quad l_0 = \sqrt{\lambda + 2\mu} / k_0.$$

k_{rr} は半径方向地盤係数、 k_{ro} は円筒表面内周方向にからく地盤係数である。第1項は円筒の変位と同一位相でからく地盤反力、第2項は円筒の速度と同一位相でからく抵抗力(減衰力)に關係する。

図-2 は横軸に r_0/L_s をとり、縦軸に $Y_0 k_{rr}/\mu$ や $Y_0 k_{ro}/\mu$ をとつて、地盤係数の周波数特性を示したものである。図中、 $n r_0$ は円筒の水平変位の深さ方向の変化を示す量である。図から明らかなように、 r_0/L_s が 0.1 と 1.0 の間で地盤係数が急激に変化する事がわかるが、 r_0/L_s が 1.0 以下

では、地盤係数の周波数特性は、ほとんど平坦である。

図-3は円筒の単位深さ当たりにからく地盤反力係数 k_p を示したものである。 k_{rr} と k_{ro} の周波数特性が相反する傾向をもつてゐるので、 k_p の周波数特性は広い振動数領域において平坦となつてゐる。

3. 実験

理論解析結果を検証するためには、図-4に示すような鋼製ケーランの前面に土圧計を取り付け、これを砂地盤中に埋設し、振動台上に鋼管柱でケーランの天端を加振し、ケーランの変位と土圧との関係を求めた。砂地盤は塑性の性質が大きいので、ケーランの変位をできるだけ小さくし、砂地盤が弾性地盤と考えられる範囲の微小振動で実験を行つた。変位測定は勝島製作所製の動線輪型地震計の出力を積分して変位計として使用し、ケーランの水平変位を一走にして得た。土圧計は共和電業製のBE-2KFである。ケーラン天端の地震計とケーラン底の地震計より、土圧計の設置處における変位を求めることができる。本実験においては、ケーラン底の地震計の振れはほとんど0で、ケーランは底面を中心としてRockingしていることがわかつた。

図-5は土圧の周波数特性を示したものである。

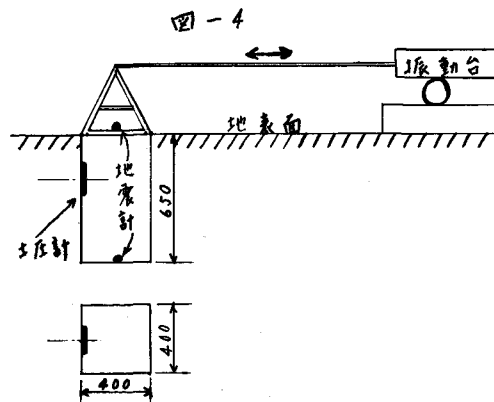


図-4

図-2-a $\tau_0 k_{rr}/\mu$

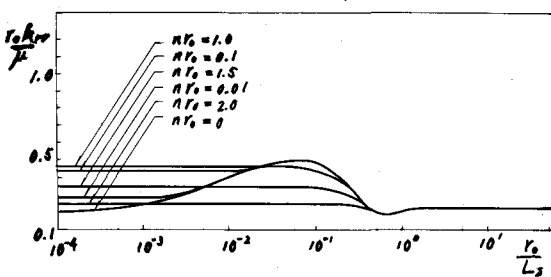


図-2-b $\tau_0 k_{ro}/\mu$

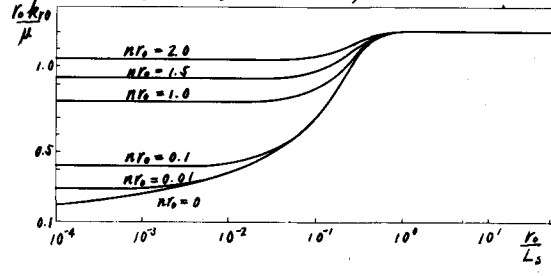


図-3 k_p/μ

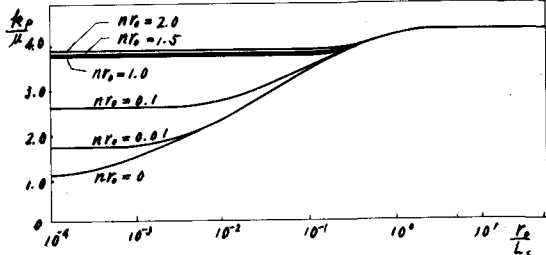


図-5

